

## PORÓZUS KÖZEGBE HELYEZETT FÜGGŐLEGES SÍKLAPON KONVEKTÍV HATÁRRÉTEG ÁRAMLÁS VIZSGÁLATA

Vadászné dr. Bognár Gabriella<sup>1</sup>, Hriczó Krisztián<sup>2</sup>

<sup>1</sup>intézetigazgató egyetemi docens, <sup>2</sup>tanársegéd  
Miskolci Egyetem, <sup>1</sup>Gép- és Terméktervezési Intézet, <sup>2</sup>Matematikai Intézet  
3515 Miskolc-Egyetemváros

[v.bognar.gabriella@uni-miskolc.hu](mailto:v.bognar.gabriella@uni-miskolc.hu), [krisztian.hriczo@gmail.com](mailto:krisztian.hriczo@gmail.com)

### Összefoglalás

Folyadékkal telített porózus közegbe helyezett függőleges síklap feletti konvektív áramlást vizsgálunk. A lamináris határréteg áramlást parciális differenciálegyenlet rendszerrel írjuk le, melyet egy alkalmasan megválasztott hasonlósági transzformációval közönséges differenciálegyenlet-rendszerre vezetünk vissza. Vizsgáljuk az így kapott differenciálegyenlet-rendszer numerikus megoldásait és megadjuk a határrétegben a hasonlósági sebesség és hőmérséklet eloszlásokat.

**Kulcsszavak:** konvektív áramlás, határréteg, porózus közeg

### Abstract

Convective heat transfer from surface embedded in porous medium is considered over a vertical surface. The laminar boundary layer flow is described by a system of partial differential equations which is transferred into a system of ordinary differential equations by a similarity method. We examine the numerical solutions to this system and we give the similarity velocity and temperature profiles.

**Keywords:** convective flow, boundary layer, porous media

### 1. Bevezetés

A porózus közegbe helyezett síklap mentén kialakuló konvektív áramlást a kutatók az elmúlt néhány évtizedben széles körben vizsgálják. A modellt számos helyen alkalmazzák a gyakorlatban, pl. az építőiparban az energiahatékony (hőszigetelő) épületelemek tervezésénél, a geológiában a geotermikus energia hasznosításánál, a felszínalatti vizekben terjedő szennyeződések szabályozásánál és az olajkitermelésnél is.

Határréteg áramlás elméletét Prandtl az 1900-as évek elején publikálta [9], azonban a porózus közegbeli határréteg áramlásra az 1970-es években kezdték alkalmazni. Az elsők között, 1975-ben Furumoto írta le, hogy a földbe, mint porózus közegbe függőleges fémlapot helyezve a vulkanikus régió hőjét a felszín alatti vizek fűtésére, és így energiatermelésre lehet hasznosítani [2].

A folyadékkal telített porózus közegbe helyezett függőleges síklap mentén kialakuló konvektív határréteg áramlás hasonlósági megoldását Cheng és Minkowycz [1] írta le

1977-ben. A síklap felületén a hőmérsékletet a magasság hatványfüggvényeként határozták meg. A '70-es évektől számos cikk és könyv jelent meg ebben a témában és napjainkban is aktívan foglalkoznak ezzel a kutatási területtel [1-10]. 2006-ban Nazar, Arifin és Pop szerzőhármas végzett vizsgálatokat vízszintes és függőleges síklap esetén, amikor kevert hőmérsékleti peremfeltétel mellett tanulmányozták a hőátadás miatt kialakuló konvektív áramlást [5].

Célunk Nazar, Arifin és Pop [5] cikkében ismertetett, a függőleges síklapra alkalmazott modell általánosítása nagy hőmérséklet különbség mellett végbemenő folyamatokra, ahol a sűrűség változása a hőmérsékletváltozás négyzetével jellemezhető. Előállítjuk a modellben szereplő peremértékfeladat numerikus megoldását, megadjuk a sebesség és a hőmérséklet eloszlásokat és vizsgáljuk a feladatban szereplő paraméterek hatását a numerikus megoldásra.

## 2. A határréteg áramlást leíró egyenletek

A  $T_\infty$  hőmérsékletű, folyadékkal telített porózus közegbe helyezett síklap mentén a sűrűség változás miatt kialakuló szabad konvektív áramlást feltételezünk. Az áramlást lamináris határréteg áramlasként modellezzük. A síklap felületén vesszük fel az  $(\bar{x}, \bar{y})$  kétdimenziós koordináta síkot, ahol az  $\bar{x}$  a síklappal párhuzamos,  $\bar{y}$  az arra merőleges koordináta [5].

A határréteg áramlás matematikai modelljében az első egyenlet az ún. folytonossági egyenlet:

$$\frac{\partial \bar{u}}{\partial \bar{x}} + \frac{\partial \bar{v}}{\partial \bar{y}} = 0.$$

A síklapot körülvevő folyadék sűrűsége változik a hőátadás következtében és ez a sűrűségváltozás hozza létre a konvektív áramlást a síklap környezetében. Abban az esetben, ha a síklap és a folyadék közötti hőmérséklet különbség kicsi, akkor a sűrűséget a Boussinesq-féle közelítést alkalmazva a

$$\rho = \rho_\infty [1 - \beta_1 (T - T_\infty)]$$

lineáris képlettel adhatjuk meg [7]. Ha a síklap és a folyadék között nagy a hőmérséklet különbség, akkor a folyadék sűrűségét a  $\rho = \rho_\infty [1 - \beta_2 (T - T_\infty)^2]$  képlettel jellemzik [10]. A  $\beta_1$  és  $\beta_2$  tényezők a hőtágulási együtthatót jelölik. Nagy hőmérséklet különbség esetén a konvektív határréteg áramlás matematikai modelljében a folytonossági egyenlethez az alábbi mozgás- és energiaegyenletek járulnak:

$$\bar{u} = \frac{gK\beta_2}{\nu} (T - T_\infty)^2,$$

$$\bar{u} \frac{\partial T}{\partial \bar{x}} + \bar{v} \frac{\partial T}{\partial \bar{y}} = \alpha_m \frac{\partial^2 T}{\partial \bar{y}^2},$$

ahol  $\bar{u}$  és  $\bar{v}$  az  $\bar{x}$  és  $\bar{y}$  irányú sebességkomponensek,  $g$  jelöli a gravitációs gyorsulást,  $K$  a porózus közeg átteresztő képessége,  $\nu$  a kinematikai viszkozitás,  $T$  a folyadék hőmérséklete és  $\alpha_m$  jelöli a hőmérséklet-vezetési tényezőt.

Elsőként bevezetjük a következő dimenziómentes változókat:

$$\begin{aligned} x &= \bar{x}/L, & y &= Ra^{1/2}(\bar{y}/L), & u &= Ra^{-1}(L/\alpha_m)\bar{u}, \\ v &= Ra^{-1/2}(L/\alpha_m)\bar{v} & \theta &= (T - T_\infty)/(T_r - T_\infty), \end{aligned}$$

ahol  $L$  jelöli a felület karakterisztikus hosszát,  $T_r$  a referencia hőmérséklet és  $Ra = gK\beta_2(T_r - T_\infty)^2 L / \alpha_m \nu$  a porózus közegbeli Rayleigh-számot. A dimenziómentes változókat behelyettesítve a határréteg áramlást leíró parciális differenciálegyenlet rendszerbe, az alábbi dimenziómentes egyenletrendszert kapjuk:

$$\frac{\partial u}{\partial x} + \frac{\partial v}{\partial y} = 0, \quad (1)$$

$$u = \theta^2, \quad (2)$$

$$u \frac{\partial \theta}{\partial x} + v \frac{\partial \theta}{\partial y} = \frac{\partial^2 \theta}{\partial y^2}. \quad (3)$$

Az (1)-(3) egyenletrendszerhez a feltételezett áramlás esetén az alábbi peremfeltételek járulnak:

- a síklap felületén ( $y = 0$ ):

$$v(x, 0) = 0, \quad (4a)$$

$$A(x)(T_r - T_\infty)\theta(x, 0) - B(x)(T_r - T_\infty) \frac{Ra^{1/2}}{L} \left( \frac{\partial \theta}{\partial y} \right)_{y=0} = C(x); \quad (4b)$$

- a határrétegtől távol ( $y \rightarrow \infty$ ):

$$\theta(x, y) \rightarrow 0, \quad (4c)$$

ahol az  $A(x)$ ,  $B(x)$  és  $C(x)$  egyelőre meg nem határozott  $x$ -től függő függvények.

Az (1)-(3) egyenletrendszer hasonlósági megoldását kívánjuk előállítani, ezért bevezetjük az alábbi hasonlósági változót és hasonlósági függvényeket:

$$\eta = x^r y, \quad \psi(x, y) = x^p f(\eta), \quad \theta(x, y) = x^q h(\eta). \quad (5)$$

A  $\psi$  áramfüggvény az  $u = \partial \psi / \partial y$  és  $v = -\partial \psi / \partial x$  szokásos értelmezés szerint automatikusan teljesíti a (1) folytonossági egyenletet. A (2) és (3) egyenletekből (5)-tel kapjuk az

$$x^{p+r} f' = (x^q h)^2, \quad (6)$$

$$x^{p-1} (qf h - p f h') = x^r h'', \quad (7)$$

egyenleteket, ahol a deriváltak az  $\eta$  hasonlósági változó szerinti deriválást jelölik.

A paraméterek megfelelő megválasztásával, ami ebben az esetben  $p = 1 + m$ ,  $q = (1 + 2m)/2$  és  $r = m$  a (6) és (7) egyenletekből

$$f' = h^2, \quad (8)$$

$$h'' - \left( \frac{1+2m}{2} \right) f h + (1+m) f h' = 0. \quad (9)$$

A hasonlósági változó alkalmazásával a dimenziómentes peremfeltételek a következők:

$$\eta = 0: \quad f(0) = 0, \quad (10a)$$

$$\eta = 0: \quad a(x)(T_r - T_\infty)h(0) - b(x)(T_r - T_\infty)^2 h'(0) = 1, \quad (10b)$$

$$\eta \rightarrow \infty: \quad h(\eta) \rightarrow 0. \quad (10c)$$

Itt  $a(x)$  és  $b(x)$  az alábbi kifejezésekkel adható meg:

$$a(x) = \frac{A(x)}{C(x)} x^{\frac{1+2m}{2}}, \quad b(x) = \frac{B(x)}{C(x)} x^{\frac{1+4m}{2}} \left( \frac{gK\beta_2}{\alpha_m \nu L} \right)^{1/2}. \quad (11)$$

A (8) és (9) egyenleteknek a (10a) (10b) (10c) feltételekkel csak abban az esetben létezik hasonlósági megoldása, ha az  $a(x)$  és  $b(x)$  konstans függvények. Az  $a$ ,  $b$  és  $T_\infty$ , illetve a  $T_r$  referencia hőmérsékletet úgy kell megválasztanunk, hogy kielégítsék az alábbi egyenletet:

$$b(T_r - T_\infty)^2 + a(T_r - T_\infty) = 1. \quad (12)$$

Legyen  $\varepsilon = b(T_r - T_\infty)^2$ , így a (10b) feltétel az alábbi formába írható:

$$(1 - \varepsilon)h(0) - \varepsilon h'(0) = 1. \quad (13)$$

Megjegyezzük, hogy  $\varepsilon = 0$  esetén  $\theta(x,0) = x^{(1+2m)/2}$  az előírt felületi hőmérséklet,  $\varepsilon = 1$  esetén a  $(\partial\theta/\partial y)_{y=0} = -x^{1/2+2m}$  a felületen előírt hőfluxus, míg  $\varepsilon \rightarrow \infty$  esetén a kevert peremfeltétel a  $(\partial\theta/\partial y)_{y=0} = -x^m \theta(x,0)$  egyenlettel írható le.

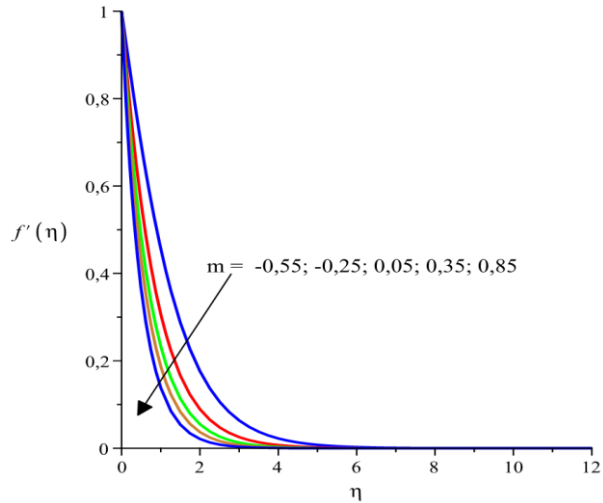
### 3. Numerikus közelítő megoldások

A numerikus megoldásokat MAPLE 12 programcsomaggal határoztuk meg beépített peremérték megoldó algoritmus használatával. Az ábrákon a különböző paraméter értékek mellett előállított numerikus megoldásokat szemléltettük az  $\eta$  hasonlósági változó függvényében.

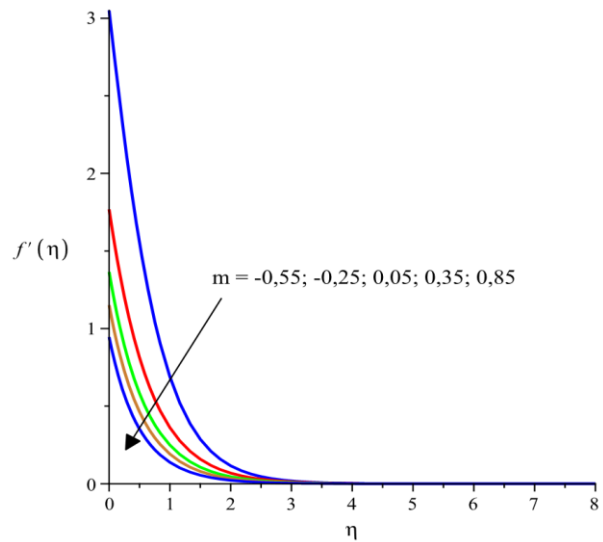
Az 1-3. ábrán a határrétegbeli hasonlósági sebesség eloszlás látható az  $\varepsilon = 0$ ,  $\varepsilon = 1$  és  $\varepsilon \rightarrow \infty$  esetén. Azt tapasztaltuk, hogy az  $\varepsilon$  növekedésével a határréteg vastagsága csökken. Az  $m$  paraméter növekedése az  $\varepsilon = 0$  esetben a határréteg vastagságának csökkenését okozza, míg a kezdeti sebesség ebben az esetben rögzített. A másik két esetben ( $\varepsilon = 1$  és  $\varepsilon \rightarrow \infty$ ) az  $m$  paraméter növelése nem változtatja meg a határréteg vastagságát, de a síkklap mentén csökkenti a kezdeti sebesség értékét.

A 4-6. ábrák a határrétegbeli hasonlósági hőmérséklet eloszlásokat szemléltetik. Itt is megfigyelhető, hogy az  $\varepsilon$  értékének növekedésével a határréteg vastagsága csökken. Az  $m$  paraméter növelésével  $\varepsilon = 0$  esetén a termikus határréteg vastagsága csökken, a kezde-

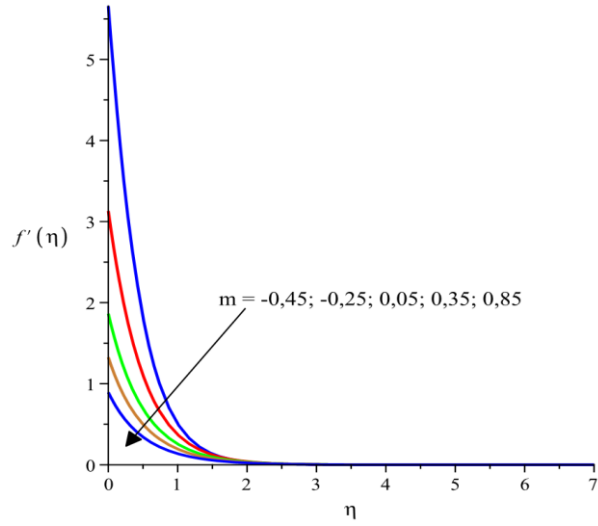
ti falhőmérséklet pedig rögzített. Míg  $\varepsilon = 1$  és  $\varepsilon \rightarrow \infty$  esetén a síklap felületén a kezdeti hőmérséklet értéke csökken, a termikus határréteg vastagsága nem mutat változást az  $m$  paraméter növelésének hatására. A 6. ábrán mutatjuk be a vegyes hőmérsékleti peremfeltétel teljesülését ( $\varepsilon \rightarrow \infty$ ), amikor a feltételünk:  $h(0) + h'(0) = 0$ .



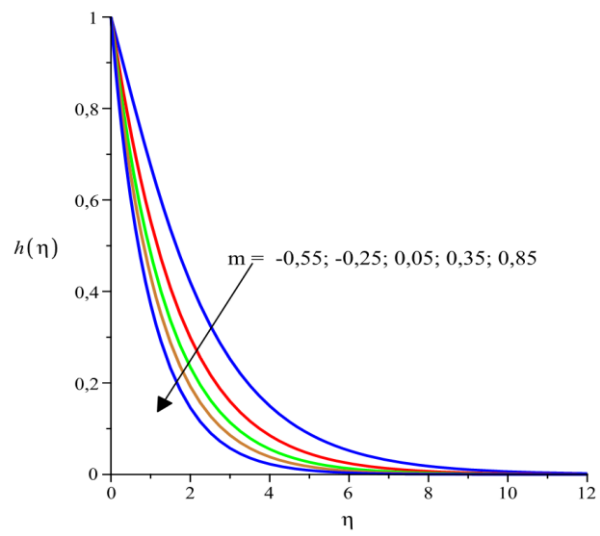
1. ábra. Sebességprofil  $\varepsilon = 0$  esetén.



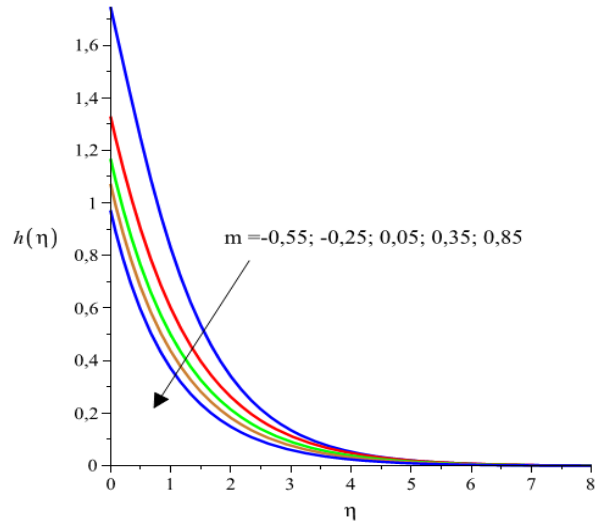
2. ábra. Sebességprofil  $\varepsilon = 1$  esetén.



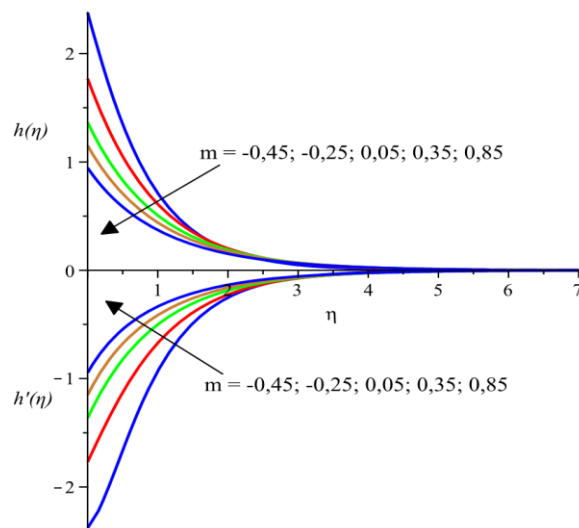
3. ábra. Sebességprofil  $\varepsilon \rightarrow \infty$  esetén.



4. ábra. Hőmérsékletprofil  $\varepsilon = 0$  esetén.



5. ábra. Hőmérsékletprofil  $\varepsilon = 1$  esetén.



6. ábra. Hőmérsékletprofil  $\varepsilon \rightarrow \infty$  esetén.

#### 4. Összefoglalás

Előállítottuk a konvektív határréteg áramlás numerikus hasonlósági megoldásait. A kapott hasonlósági megoldások monoton csökkenő tulajdonsága jól szemlélteti a modell fizikai jelentését, azaz a  $T_\infty$  állandó hőmérsékletre való lehűlést.

Megoldásaink azt mutatják, hogy az  $m$  paraméter növekedésével  $\varepsilon = 0$  esetén mind a hidrodinamikai, mind a termikus határréteg vastagsága csökken. Azonban  $\varepsilon = 1$  és  $\varepsilon \rightarrow \infty$  esetekben a határrétegek vastagsága jelentős változást nem mutat, de ezekben az esetekben a kezdeti sebesség és hőmérséklet csökken a síklap mentén az  $m$  paraméter növekedésének hatására.

## 5. Köszönetnyilvánítás

A kutatás az Európai Unió és Magyarország támogatásával a TÁMOP 4.2.4.A/1-11-1-2012-0001 azonosító számú "Nemzeti Kiválóság Program - Hazai hallgatói, illetve kutatói személyi támogatást biztosító rendszer kidolgozása és működtetése országos program" című kiemelt projekt keretei között valósult meg a TÁMOP-4.2.1.B-10/2/KONV-2010-0001 projekt eredményeire alapozva.

## 6. Irodalom

- [1] Cheng P., Minkowycz W. J.: *Free convection about a vertical flat plate embedded in a porous medium with application to heat transfer from a dike*, Journal of Geophysical Research 82 (14) (1977), pp. 2040-2044.
- [2] Furumoto A. S.: *A systematic program for geothermal exploration on the island of Hawaii*, paper presented at the 45th Annual International Meeting, Soc. Of Explor. Geophys., Denve, Colo. Oct. 12-16, 1975.
- [3] Ingham D. B., Pop I. (Eds): *Transport Phenomena in Porous Media*, Oxford, 1998, Vol. II 2002, Vol. III 2005.
- [4] Ingham D. B., Bejan A., Mamut E. and Pop I.: *Emerging Technologies and Techniques in Porous Media*, NATO Science Series II. Mathematics, Physics and Chemistry-Vol. 134, Kluwer Academic Publisher, 2004.
- [5] Nazar R., Arifin N. M., Pop I.: *Free convection boundary layer flow over vertical and horizontal flat plates embedded in a porous medium unde mixed thermal boundary conditions*, Int. Comm. in Heat and Mass Transfer 33 (2006) pp. 87-93.
- [6] Nield D. A., Bejan A.: *Convection in Porous Media*, second ed. Springer, New York, 1999.
- [7] Lesnic D., Ingham D. B., Pop I.: *Free convection boundary-layer flow along a vertical surface in a porous medium with Newtonian heating*, Int. J. of Heat and Mass Transfer 42 (1999) 2621-2627.
- [8] Pop I., Ingham D. B.: *Convective Heat Transfer: Mathematical and Computational Modelling of Viscous Fluids and Porous Media*, Pergamon, Oxford, 2001, pp. 381-430.
- [9] Prandtl, L.: *Über Flüssigkeitsbewegungen bei sehr kleiner Reibung*, in Verhandlungen des III. Internationalen Mathematiker Kongresses, Heidelberg, Germany, 1904, pp. 484-491.
- [10] Vajravelu K., Cannon J. R., Leto J., Semmoum R., Nathan S., Draper M., and Hammock D.: *Nonlinear convection at a porous flat plate with application to heat transfer from a dike*, J. Math. Anal. Appl. 277 (2003) 609-623.